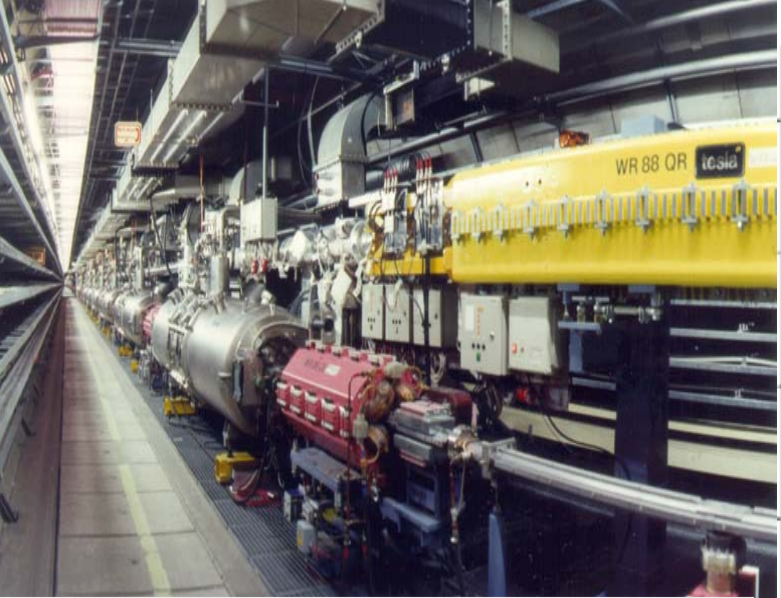


Эксперимент HERMES

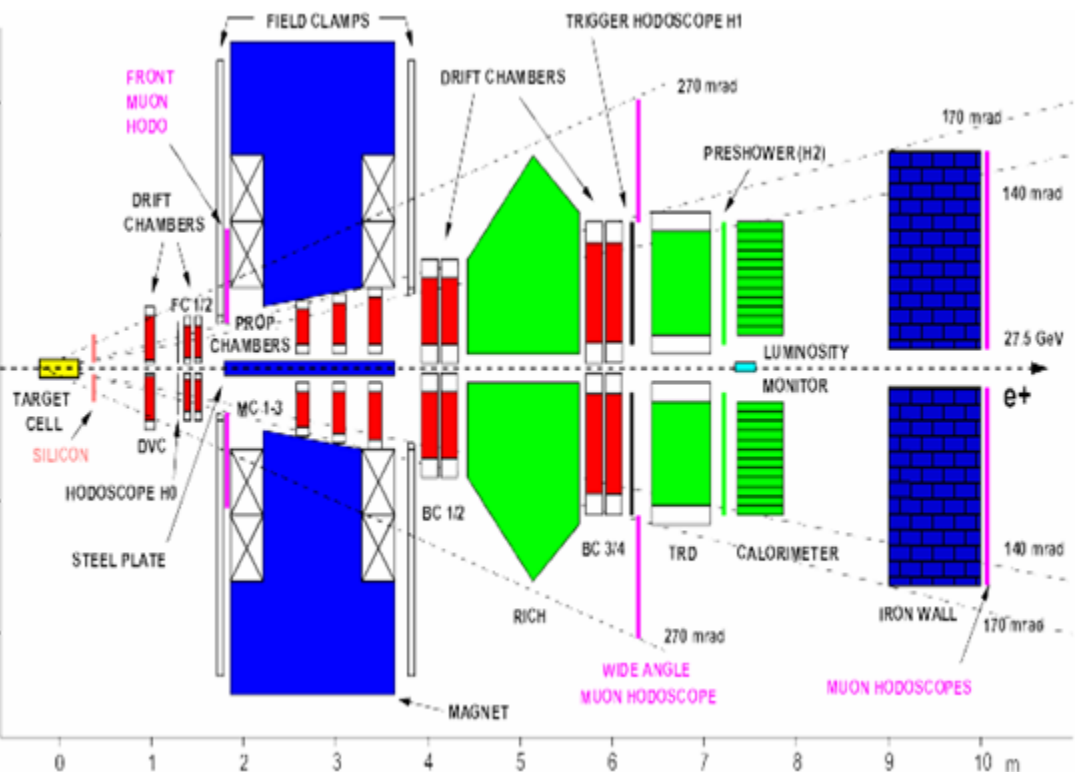
*Исследование спиновой структуры нуклона
в глубоко неупругом рассеянии поляризованных
позитронов (электронов) при 27.6 ГэВ
на поляризованной H или D мишени.*

Основные научные результаты и планы

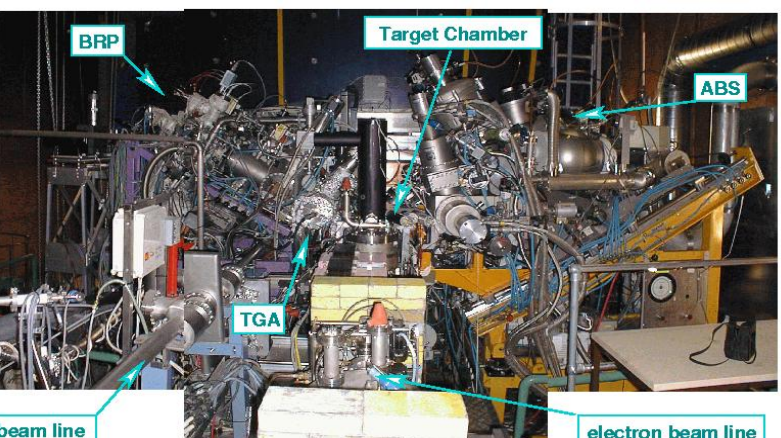




Polarized lepton beam of
The HERA ring $\langle P_b \rangle \sim 54\%$



Polarized gas target $\langle P_+ \rangle \sim 85(-84)\%$



Hermes spectrometer

Resolution:

$$\Delta p/p \sim 1\%, \Delta\Theta < 1 \text{ mrad}$$

PID: 98% lepton identification with $< 1\%$ hadron contamination

Excellent separation of π , K and p with RICH

Summary of HERMES data-taking

$\vec{e} + \vec{p} (\vec{d}) \Rightarrow e' + X$ inclusive DIS with $Q^2 \geq 1\text{GeV}$

$\vec{e} + \vec{p} (\vec{d}) \Rightarrow e' + h + X$ Semi-Inclusive DIS with $Q^2 \geq 1\text{GeV}$

$\vec{e} + \vec{p} (\vec{d}) \Rightarrow h + X$ (e.g. $h = \vec{\Lambda}$) quasi-real photoproduction with $Q^2 \approx 0$

$\vec{e} + p (\vec{p}, \vec{d}) \Rightarrow e' + h, \gamma + p, n$ (e.g. $h = \rho, \phi, \pi\dots$) exclusive reaction

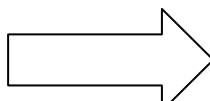
1995-2000 HERMES RUN I

Beam pol. = 51%

Lumi H,D pol = 259 pb-1

Lumi unpol = 593 pb-1

($H, D, {}^3He, {}^4He, {}^{14}N, {}^{20}Ne$ and ${}^{84}Kr$)



N_e(DIS)=180 Mio

Longitudinal polarization

| year | type | target polar. % |
|------|----------|-----------------|
| 1995 | 3He | 46 |
| 1996 | H | 76 |
| 1997 | H | 85 |
| 1998 | D | 86 |
| 1999 | D | 83 |
| 2000 | D | 84.5 |

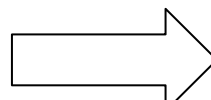
2001-2002 HERA lumi upgrade

2002-2007 HERMES RUN II

Beam pol. = 36%

Lumi H pol = 161 pb-1

Lumi unpol ~ 530 pb-1



Transverse polarization

| years | type | polar.% |
|-----------|------------|---------|
| 2002-2005 | H | 78 |
| 2006-2007 | unpol (RD) | |

Вклад ПИЯФ в эксперимент

Hardware:

- **Магнит спектрометра** (разработка концепции, организация производства, частично инвестирование, магнитные измерения карты поля);
- **Пропорциональные камеры** (11тыс.каналов) в зазоре магнита;
- Инвестирование (частично) системы считывания PCOS-4;
- Автоматизированная **система охлаждения** для frontend PCOS-4 и TRD;
- **Система охлаждения** для силикон-стріп детектора Lambda Wheels;

Software

- Разработка программ кодирования события **HERMES Decoding**;
- Разработка программы улучшенного трекинга **HERMES TC**;
- Производство файлов данных **HERMES HRC /DST files**;
- Программа выстройки элементов детектора по трекам, и пр.
- Разработка программ **SLOW CONTROL**;

DATA TAKING

- Поддержание **MCs, TRD**;
- Поддержание силикон.-стріп дет. **LW**;
- Поддержание **DAQ**;
- Газообеспечение ;
- Поддержание **Slow Control**;
- Обработка **сырых данных**;
- Работа в качестве **период координатора**;

ГЕРМЕС. Основные направления анализа экспериментальных данных :

- Исследование вклада квarkов и глюонов в спин нуклона;
- Исследование функций фрагментации Коллинза и Сиверса, связанных с поперечной поляризацией квакров;
- Обобщенные партонные распределения и орбитальное движение;
- Поляризационные параметры в рождении векторных мезонов;
- Параметры передачи спина и поляризация в рождении Λ (и других) гиперонов;
- Ядерные эффекты.
- Обработка сырых данных и получение файла данных, непосредственно используемого в анализе (μ DST).

Вклад ПИЯФ в анализ

- Исследование вклада夸克ов и глюонов в спин нуклона;

Полина Кравченко → Δq from SIDIS and DIS,
kinematic distributions

- Поляризационные параметры в рождении векторных мезонов;

Сергей Манаенков → ρ, φ, ω SDME, direct amplitude reconstruction

- Параметры передачи спина и поляризация в рождении Λ (и других) гиперонов;

Денис Веретенников, Юрий Нарышкин, Станислав Белостоцкий

→ DLL, KLL, Pn-transverse Lambda and Lbar

- Ядерные эффекты.

Юрий Нарышкин, Станислав Белостоцкий

→ Study of nuclear medium effects on transverse Λ hyperon polarization

- Обработка сырых данных и получение файла данных, непосредственно используемого в анализе (μ DST).

Александр Киселев → new Hermes Track Reconstruction Code HTC

Поляризация夸克ов в нуклоне

и спиновый кризис 2009

$$\Delta\Sigma = 0.12 \pm 0.09 \pm 0.14 \neq 1 !!!$$

From **inclusive** polarized DIS

$$\vec{e}^-(\vec{\mu}) + \vec{d} \Rightarrow e' + X$$

HERMES (COMPASS) results

$$\Delta\Sigma = 0.33 \pm 0.02(\text{exp}) \pm 0.03(\text{theo})$$

$$(\Delta u + \Delta \bar{u}) = 0.842 \pm 0.008 \pm 0.004$$

$$(\Delta d + \Delta \bar{d}) = -0.427 \pm 0.008 \pm 0.004$$

$$(\Delta s + \Delta \bar{s}) = -0.085 \pm 0.008(\text{exp}) \pm 0.013(\text{theo})$$

evaluated at

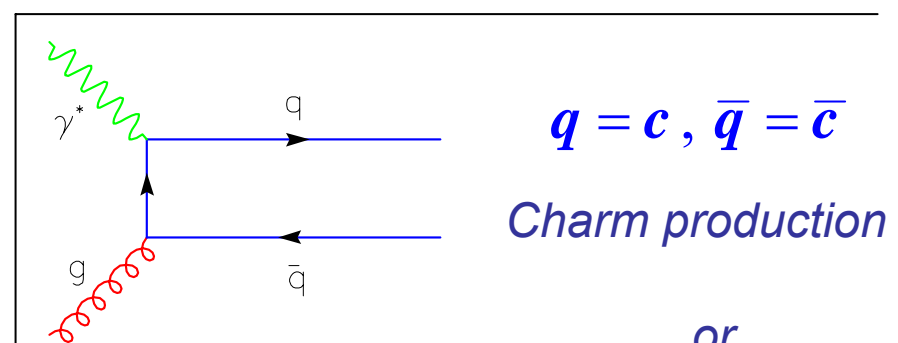
$$0.021 < x < 0.9 \quad \alpha_s = 0.29 \pm 0.01 \quad Q_0^2 \sim 5 \text{ GeV}^2$$

$$a_8 = (\Delta u + \Delta \bar{u}) + (\Delta d + \Delta \bar{d}) - 2(\Delta s + \Delta \bar{s}) = 3F - D = 0.586$$

$$a_0 = (\Delta u + \Delta \bar{u}) + (\Delta d + \Delta \bar{d}) + (\Delta s + \Delta \bar{s}) = a_8 - 3(\Delta s + \Delta \bar{s})$$

$$S_z = \frac{1}{2} = \frac{1}{2} \Delta\Sigma + \Delta G + L_q + L_g$$

quarks
gluons



$$q = c, \bar{q} = \bar{c}$$

Charm production

or

PGF

$$A_{LL} \sim \frac{\Delta G}{G}$$

another option
high P_T of produced
hadrons

$$\frac{\Delta g}{g} = 0.078 \pm 0.034 \pm 0.011$$

$$at \quad \langle x \rangle = 0.204$$

Quark helicity distributions using *purity* method.

$\vec{e} + \vec{p} \ (\vec{d}) \Rightarrow e' + h + X$

evaluated at $Q_0^2 = 2.5 \text{ GeV}^2$

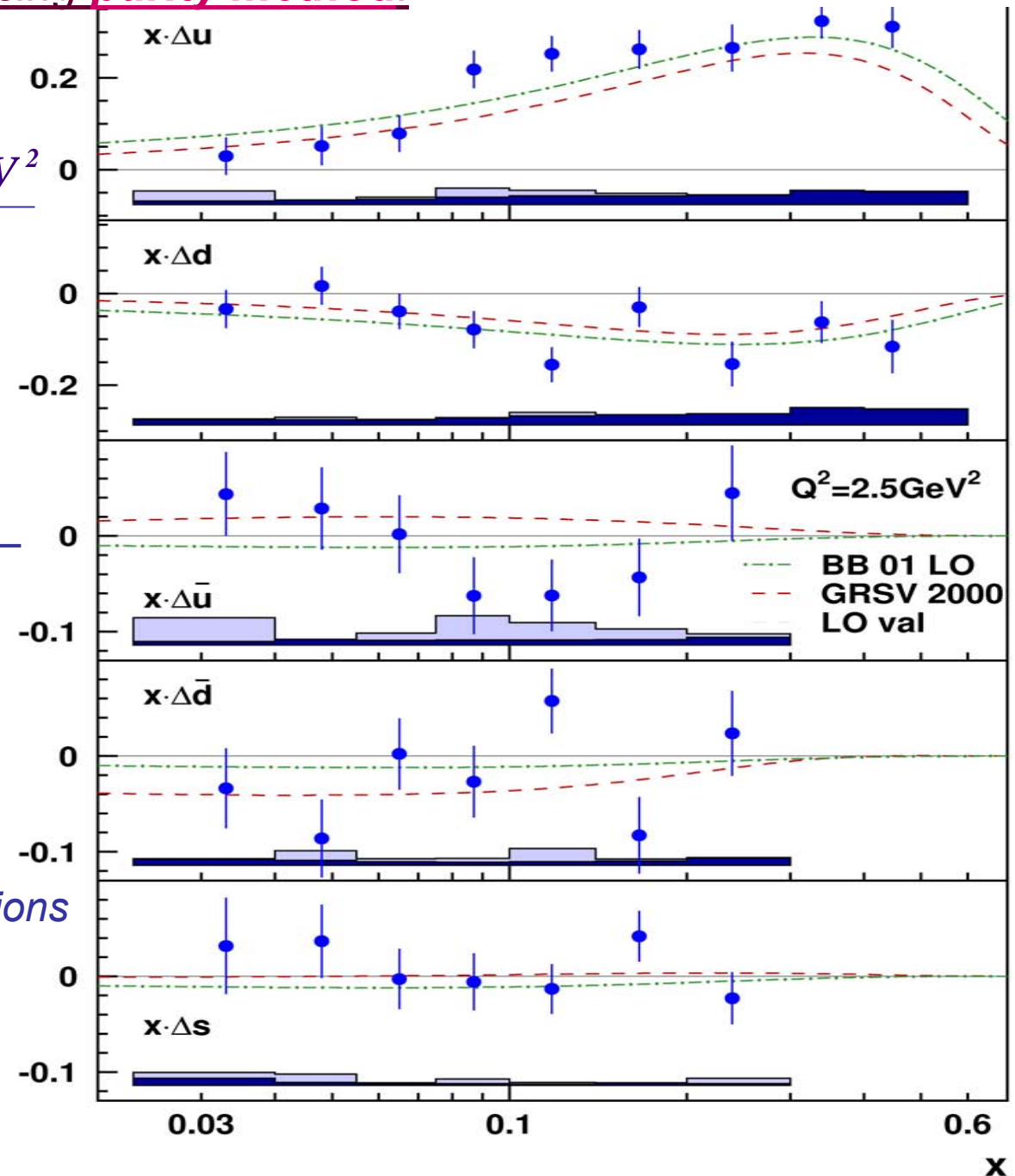
theory:

QCD fit to inclusive DIS,
SU(3), BJSR required.

Agreement looks fine

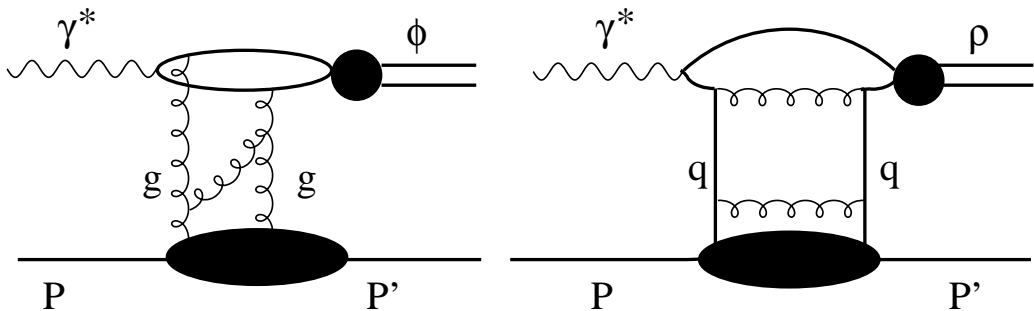
NEW:

- ✓ Control of factorization theorem;
- ✓ Control of P_T dependence
- ✓ Taking into account Cahn effect ;
- ✓ Extraction of some combinations Of quark helicity distribution w/o having purity involved.



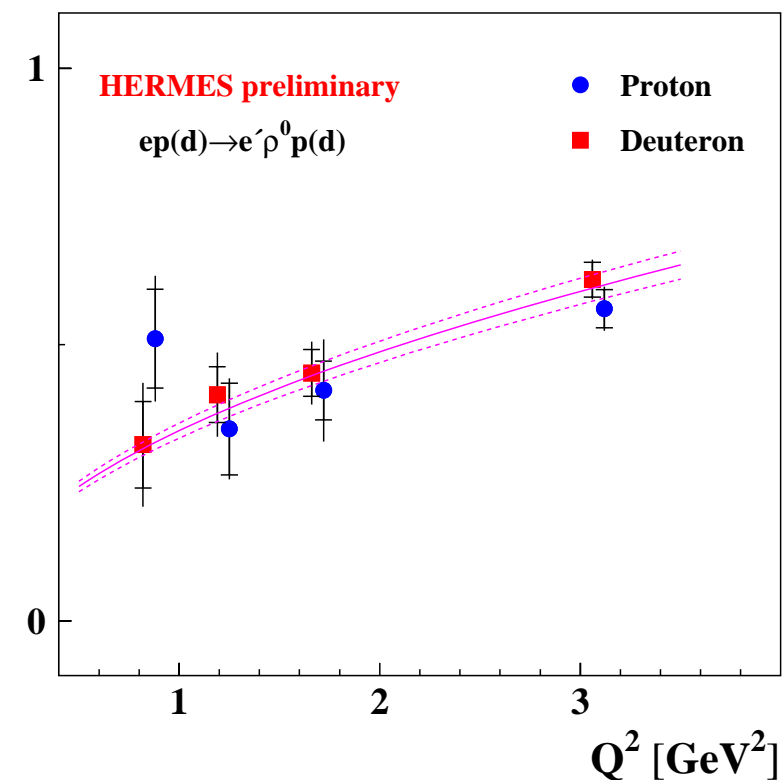
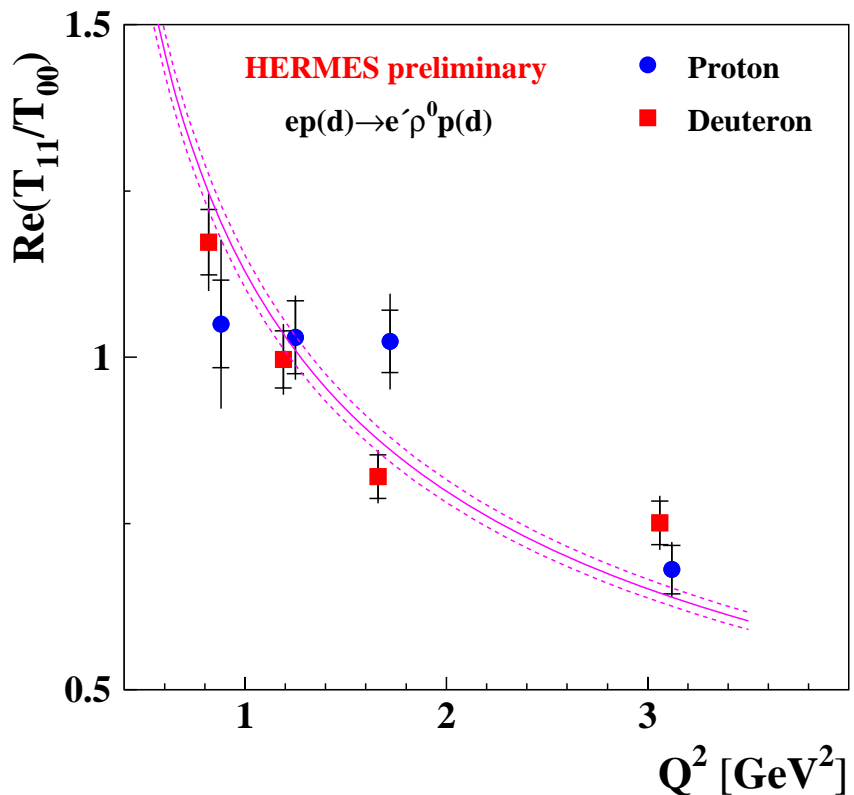
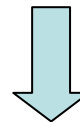
VM production with polarized beam and target

Сергей М



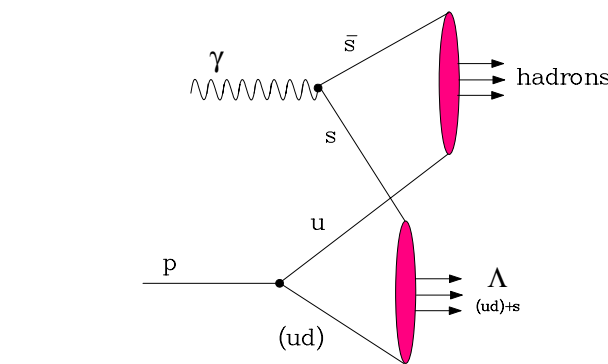
direct reconstruction of $\rho 0$ production amplitudes

Reaction mechanism ??



Transverse Λ polarization in photoproduction and DIS, change of reaction mechanism

Юрий Н

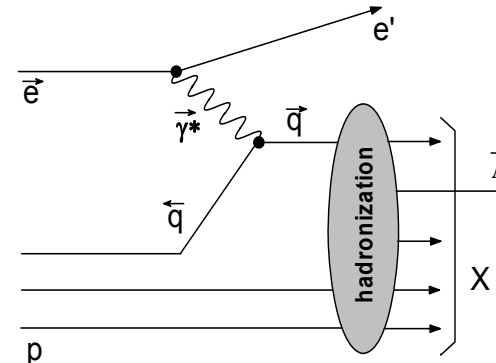
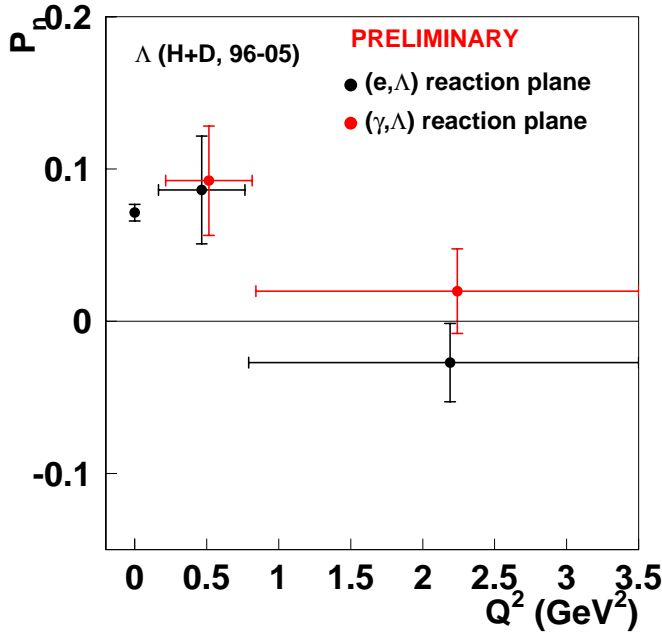


$$\vec{e} + \vec{p} \ (\vec{d}) \Rightarrow \vec{\Lambda} + X$$

quasi – real photoproduction
with $Q^2 \approx 0$

$$\vec{n} = \frac{\vec{p}_e \times \vec{p}_\Lambda}{|\vec{p}_e \times \vec{p}_\Lambda|}$$

$$\vec{n} = \frac{\vec{p}_\gamma \times \vec{p}_\Lambda}{|\vec{p}_\gamma \times \vec{p}_\Lambda|}$$



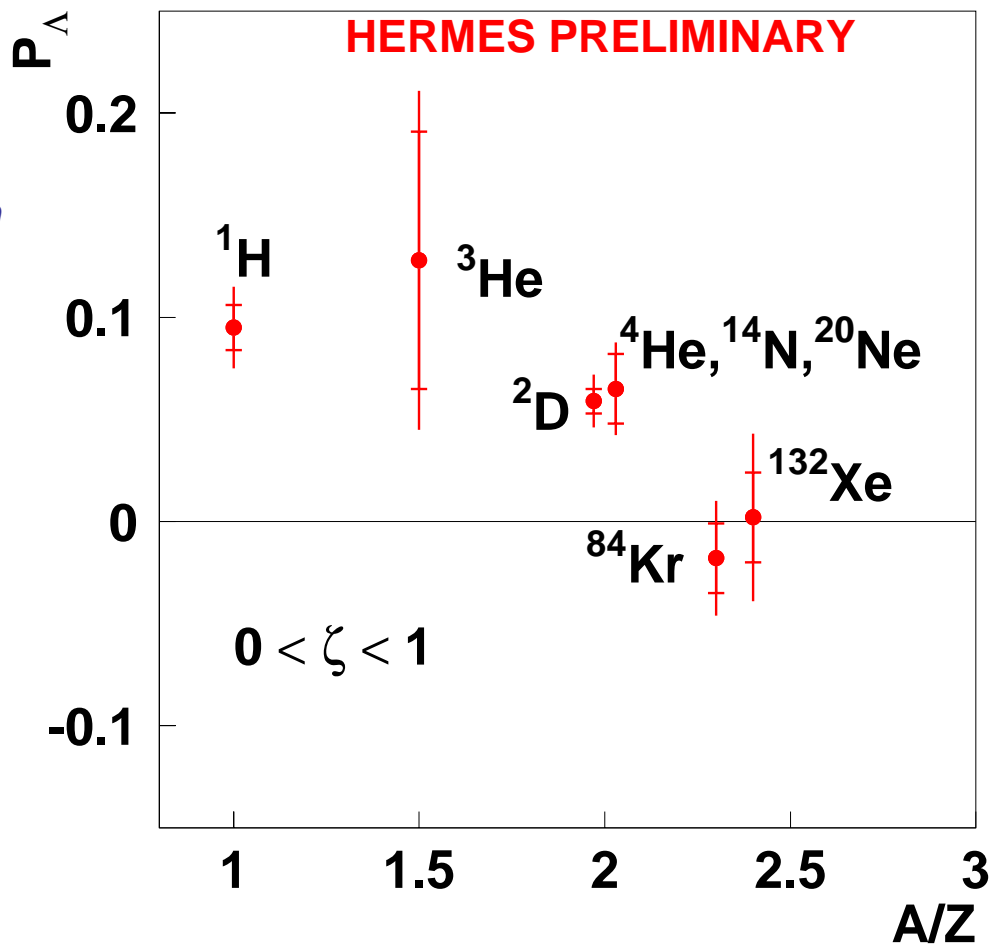
$$\vec{e} + \vec{p} \ (\vec{d}) \Rightarrow e' + \vec{\Lambda} + X$$

Semi-Inclusive DIS with $Q^2 \geq 1 \text{ GeV}^2$



Data 1996-2005 only,
(2006-2007 will double the statistics)

New result → unlike hadron
and heavy ion collisions
strong effect of target on P_Λ



- Θ^+ : the final word = full data through '07 Avetik, Siguang, Wouter, Alberto
- update spin-transfer DLL in DIS ... and explore effect in photoproduction Denis, Yuri
- update transverse “self-polarization” P_N in photoproduction ... and explore effect in DIS ... Denis, Yuri, (Martin)
- ... A-dependence of transverse Λ polarization Denis, Yuri
- Spin effects in Σ, Ξ photoproduction: P_N and DLL Yuri
- Λ spin-transfer K_{NN} in photoproduction Yuri
- Λ polarization at $x_F < 0$?

Публикации HERMES

Всего HERMES опубликовал более 80 статей, из них 24 с высоким индексом цитирования (>50 и выше).

ПИЯФ в авторском листе: S.Belostotski, G.Gavrilov, A.Izotov,(A.Jgoun), A.Kisselev, P.Kravchenko, S.Manaenkov, (O.Miklukho), Y.Naryshkin, (I.Sanjiev), D.Veretennikov, V.Vikhrov

2009

| DC | topic | arXiv | | status |
|----|------------|-----------|------|--------------------|
| 24 | p-SDMEs | 0901.0701 | EPJC | 62 (2009) 659 |
| 39 | dvcuDunpol | 0911.0095 | NPB | proofs resubmitted |
| 47 | nuclvcs | 0911.0091 | PRC | referee comments |
| 65 | Sivers | 0906.3918 | PRL | 103 (2009) 152002 |
| 69 | dvcSHunpol | 0909.3587 | JHEP | 11 (2009) 083 |
| 70 | ptbroad | 0906.2478 | PLB | pending |
| 71 | AUTrho | 0906.5160 | PLB | 679 (2009) 100 |
| 74 | AUTpi+ | 0907.2506 | PLB | 682 (2010) 345 |
| 77 | 2-photon | 0907.5369 | PLB | 682 (2010) 351 |

Вклад ПИЯФ в публикации HERMES Collaboration (Main Drafter)

Сергей М. 2 + 1

Юрий Н. 1

Полина К. 1

Денис В. 1

С.Б. 4 + 2

published

publication in progress

Международные конференции (4-6 докладов от ПИЯФ в год)

2008

Кравченко П. “*Measurement of Flavor Separated Quark Polarizations at HERMES*”

International Conference DIFFRACTION 2008,
La Londe-les-Maures,
France September 9-14, 2008

Манаенков С. “*Exclusive Electroproduction of ρ^0 and ϕ Mesons at HERMES*”

International Workshop on Hadron Structure and QCD (HSQCD2008), Gatchina June 30 -July 04

Веретенников Д. “*Spin transfer coefficient K_LL in Lambda photoproduction in HERMES*”

16-th International Workshop DIS 2008,
London, 7-11 April 2008

Белостоцкий С. “*Polarization in Lambda and Lambdabar production at HERMES*.”

“The 18th International Symposium on Spin Physics, Spin 2008 October 6 - 11, 2008 in Charlottesville, Virginia, USA

Белостоцкий С. “*Lambda physics at HERMES*”

ECT 2008 International Workshop “Strangeness polarization in semi-inclusive and exclusive Lambda production” Trento, November 2008

2009

Ю.Г.Нарышкин “*A-dependence of the transverse Lambda polarisation*”

European Nuclear Physics Conference (ENPC09)
Mar 16 - 20, 2009 Bochum, Germany

Ю.Г.Нарышкин “*Lambda Physics at HERMES*”

XIII Workshop on High Energy Spin Physics (DSPIN09)
Sep 1 - 5, 2009 Dubna, Russia

П. Кравченко “*Hermes measurements of strange quark helicity distributions*”

European Nuclear Physics Conference (EuNPC)
March 16-20, 2009 , Bochum

С.И.Манаенков “*Exclusive Electroproduction of ρ^0 , ϕ , and Ω Mesons at HERMES*”

XIII Workshop on High Energy Spin Physics (DSPIN09)
Sep 1 - 5, 2009 Dubna, Russia

План работ на период 2010-2014 гг

- 1. Завершение программы модернизации трекинга с целью существенного улучшения импульсного, пространственного и углового разрешения.
Переобработка части HERMES данных с использованием нового трекинга;*
- 2. Продолжение и завершение анализа данных по рождению гиперонов: попречная поляризация, коэффициенты передачи спина от поляризованного пучка и от продольно- и поперечно-поляризованных мишеней, функции фрагментации;*
- 3. Ядерные эффекты в поляризации гиперонов;*
- 4. Продолжение и завершение совместного анализа данных по асимметриям в глубоконеупругом инклузивном и полуинклузивном рассеянии;*
- 5. Продолжение и завершение анализа по восстановлению зависящей от спина матрицы рождения векторных мезонов.
Прямое восстановление зависящих от спина амплитуд.*

| | $p \rightarrow 2p$ | Hermes analysis | OLYMPUS | PANDA |
|------------------|--------------------|-----------------|---------|-------|
| Г . Амальский | 😊 | | | |
| С.Белостоцкий | | 😊 | 😊 | 😊 |
| Д . Веретенников | | 😊 | 😊 | |
| В. Вихров | 😊 | | | 😊 |
| А. Жданов | 😊 | | | 😊 |
| А. Изотов | 😊 | | 😊 | 😊 |
| А. Киселев | 😊 | 😊 | 😊 | 😊 |
| П. Кравченко | | 😊 | | 😊 |
| С. Манаенков | | 😊 | | |
| О. Миклухо | 😊 | | | 😊 |
| Ю. Нарышкин | | 😊 | 😊 | 😊 |
| А. Прокофьев | 😊 | | | |



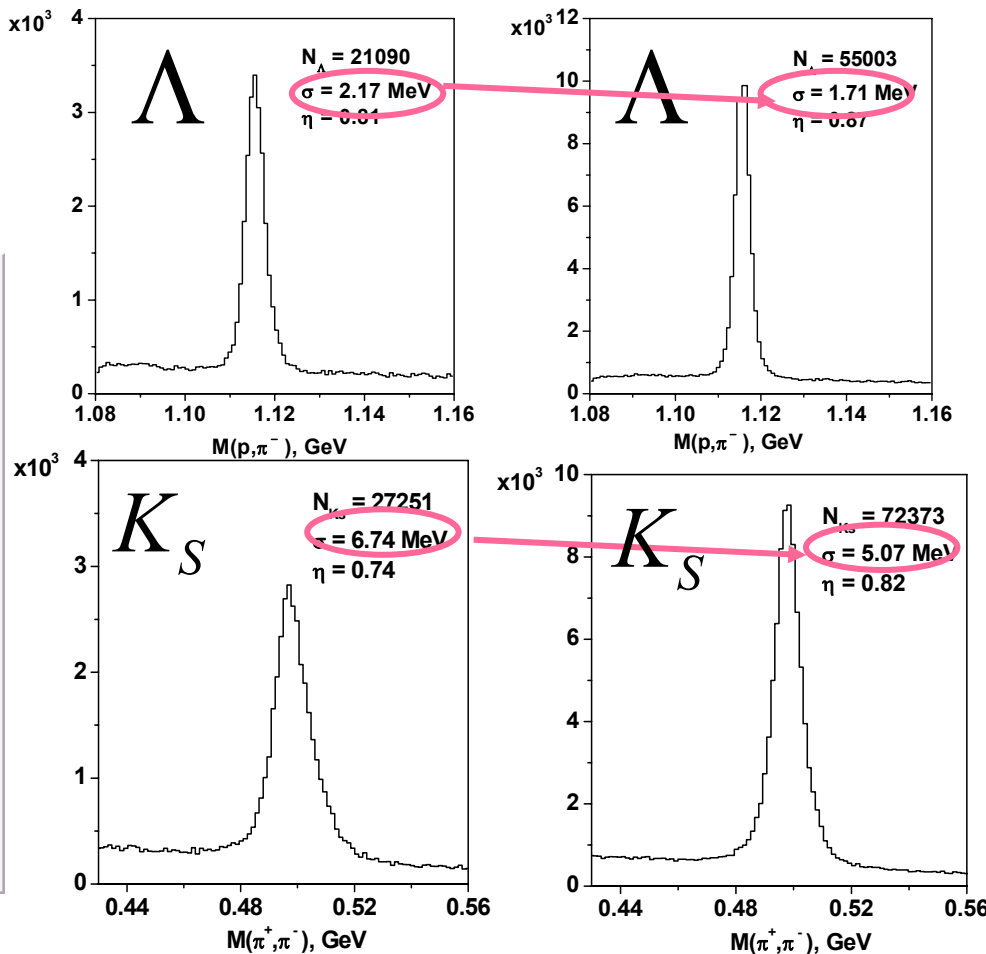
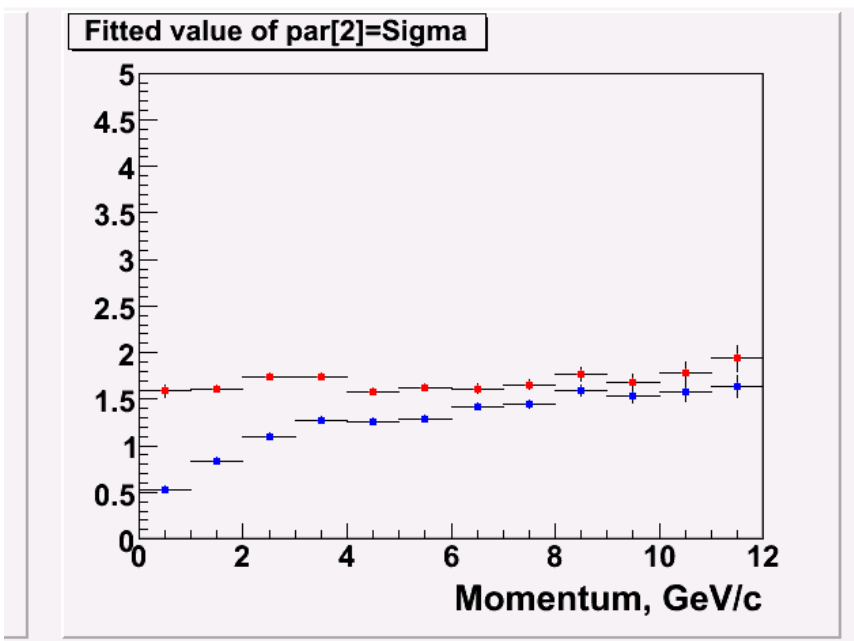
С Новым Годом



BACKUP SLIDES

- 3D survey and alignment data
- Material distribution in the detector
- Magnetic field maps
- Beam line offset determination
- accuracy $\sim 100\mu\text{m}$
- Beam line slopes determination
- accuracy $\sim 100\mu\text{rad}$

Существенное улучшение пространственного, углового и импульсного разрешения.



EMC (1988) experiment and spin crisis

*DIS of polarized
muons on polarized
target,
repeated later on by SLAC*



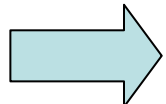
$$\Delta\Sigma = \mathbf{0.12 \pm 0.09 \pm 0.14} \neq 1 !!!$$

*Jaffe sum rule based on $SU(3)$ f.s.
and assumption $\Delta s=0$*



$$\Delta\Sigma \approx \mathbf{0.6}$$

*todate
sum rule*



$$S_z = \frac{1}{2} = \frac{1}{2} \Delta\Sigma + \Delta G + J_q + J_g$$

quarks

gluons

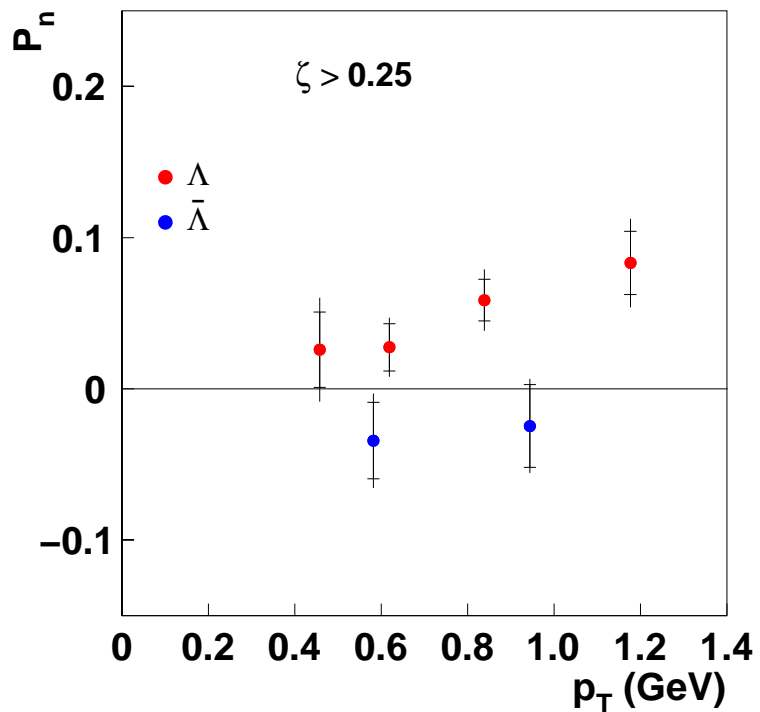
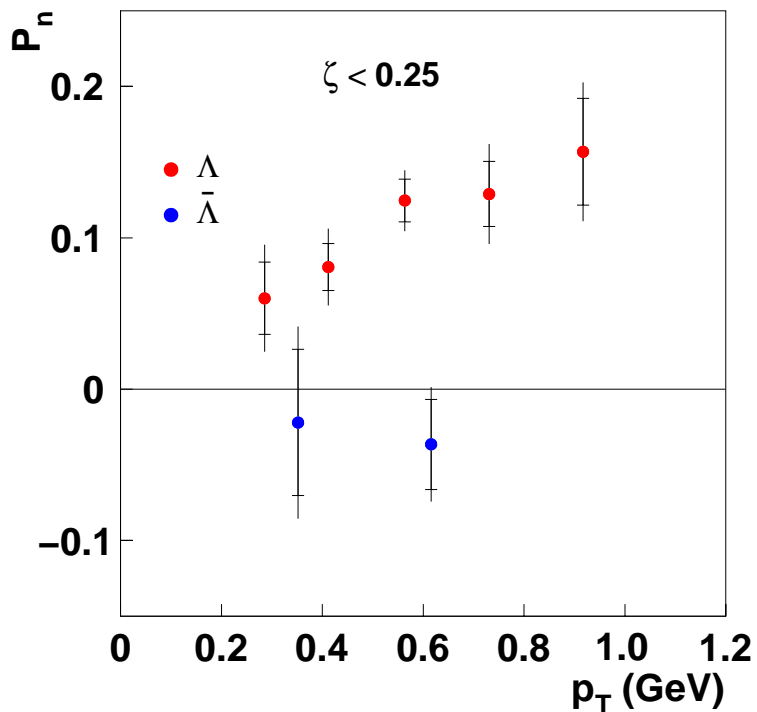
orbital motion

HERMES analysis

$e + d(p, A) \rightarrow \Lambda \uparrow + X$ at $\langle E_\gamma \rangle = 15.6$ GeV
inclusively detected

$$P_\Lambda = 0.078 \pm 0.006(stat) \pm 0.012(syst)$$

$$P_{\bar{\Lambda}} = -0.025 \pm 0.015(stat) \pm 0.018(syst)$$



Включение данных RUN II даст фактор 3-5 в числе событий, что особенно важно для $\bar{\Lambda}$.

HERMES data → access to current fragmentation domain

Published Phys.Rev D(2006)

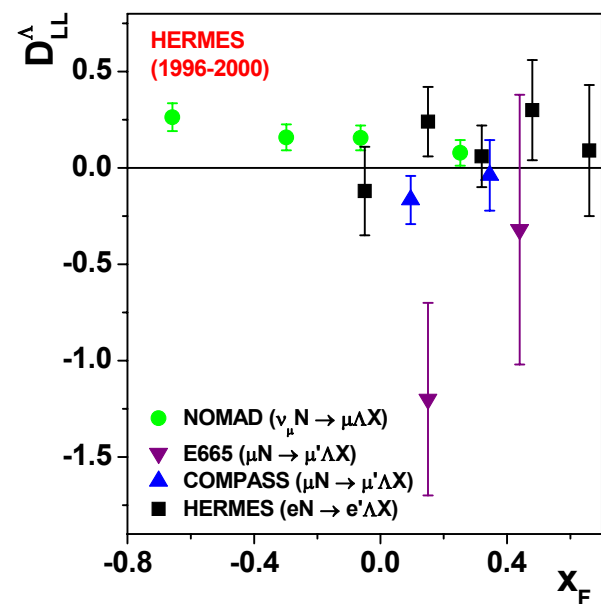
$$Q^2 > 0.8 \text{ GeV}$$

2008

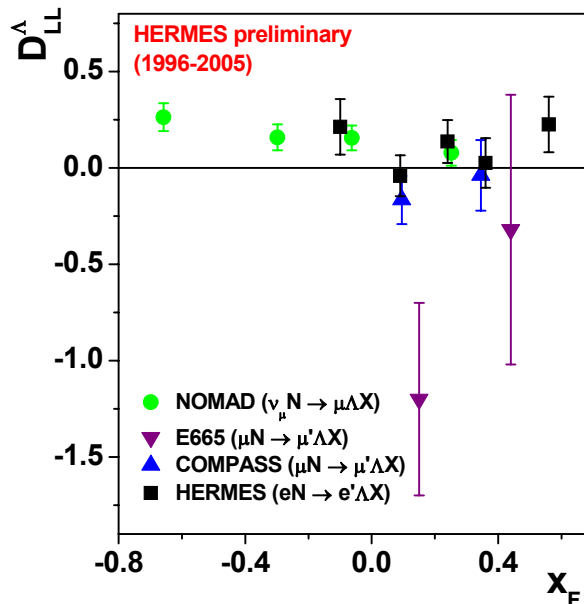
$$Q^2 > 0.8 \text{ GeV}$$

(2009)

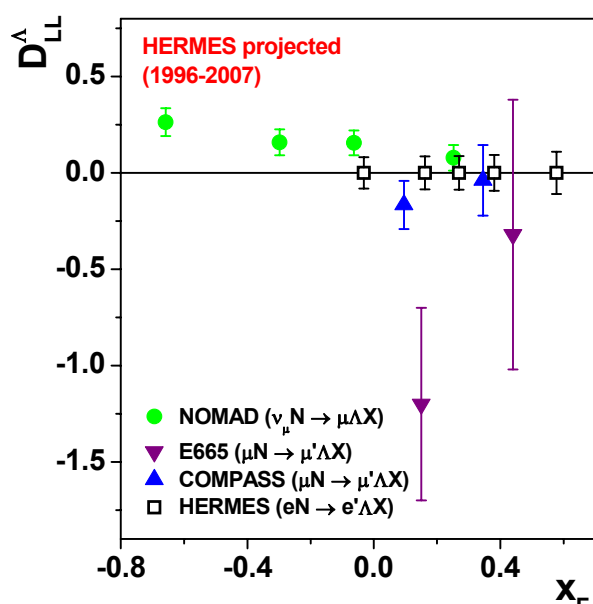
$$Q^2 > 0.8 \text{ GeV}$$



7300 Λs
 $D_{LL'} = 0.10 \pm 0.09$
 (1996-2000)



26714 Λs
 $D_{LL'} = 0.102 \pm 0.056$
 (1996-2005)

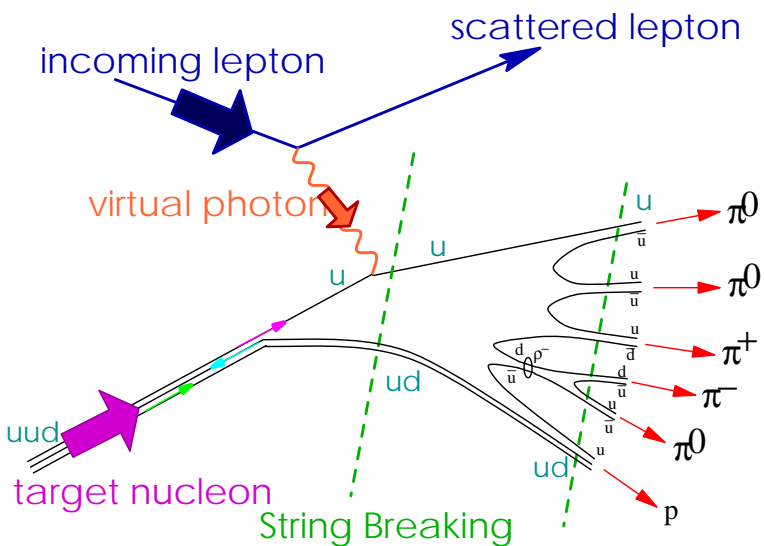


~55,000 Λs
 Projected !!
 (1996-2007)

Semi-inclusive DIS. Quark helicity distributions.

Polina K

$$\vec{e} + \vec{p}, \vec{d} \Rightarrow e' + h + X \quad \text{at } Q^2 > 1 \text{ GeV}$$



$$A_1^h(x, Q^2, z) =$$

$$\sum_q P_q^h(x, Q^2, z) \cdot \frac{\Delta q(x, Q^2)}{q(x, Q^2)}$$

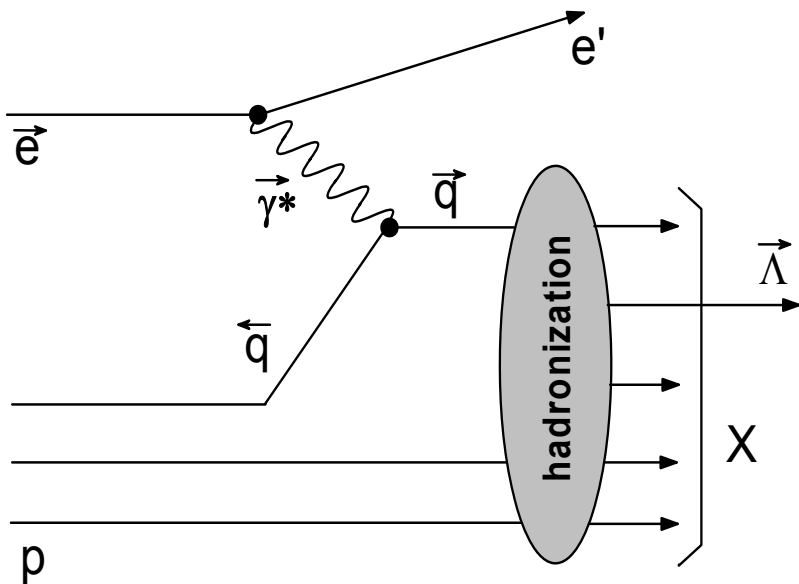
fractional q-contribution

Purity $P_q^h(x, Q^2, z)$
calculated using LUND MC

$$z = \frac{E^h}{v} \text{ hadron fractional energy}$$

Longitudinal spin transfer DLL'

$$\vec{e} + p, d \Rightarrow e^+ + \bar{\Lambda} + X$$



$$P_{L'}^A = D_{LL'}^A \cdot P_L^q$$

$$D_{LL'}^A = \sum_q \omega_q \cdot D_{LL'}^{qA} \approx \sum_q \omega_q \frac{\delta q^A}{q^A}$$

Λ spin structure

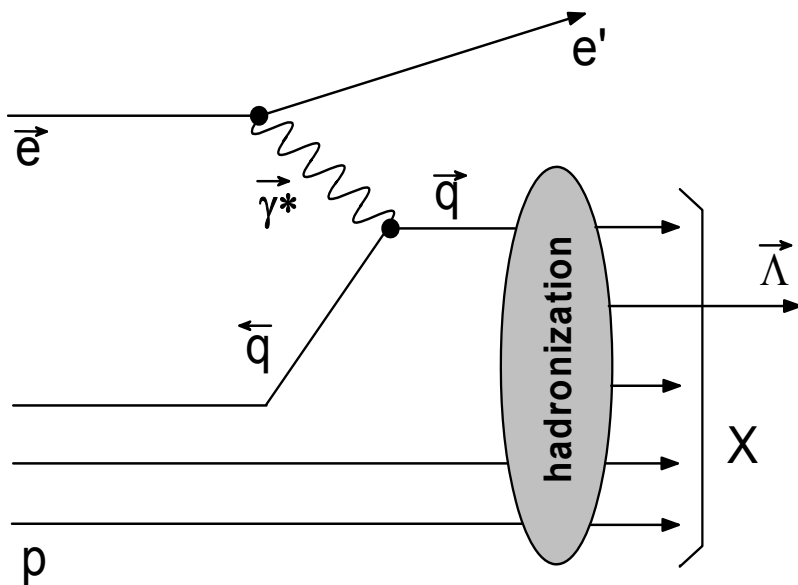
$$SU(3)_f \rightarrow \frac{\delta u}{u} = \frac{\delta d}{d} = -0.16 \quad \frac{\delta s}{s} = 0.64$$

$$\text{Lattice calculations} \rightarrow \frac{\delta u}{u} = \frac{\delta d}{d} = -0.02 \pm 0.04 \quad \frac{\delta s}{s} = 0.68 \pm 0.04$$

Longitudinal spin transfer DLL'

$$\vec{e} + p, d \Rightarrow e^+ + \bar{\Lambda} + X$$

Valid only for current fragmentation !!



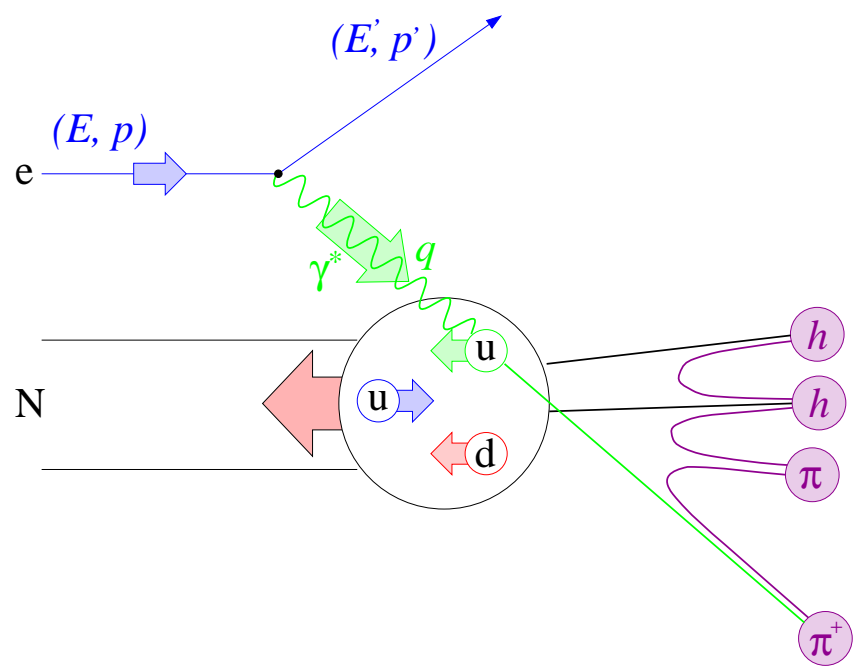
$$P_{L'}^A = D_{LL'}^A \cdot P_L^q$$

$$D_{LL'}^A = \sum_q \omega_q \cdot D_{LL'}^{qA} \approx \sum_q \omega_q \frac{\delta q^A}{q^A}$$

Λ spin structure

$$SU(3)_f \rightarrow \frac{\delta u}{u} = \frac{\delta d}{d} = -0.16 \quad \frac{\delta s}{s} = 0.64$$

$$\text{Lattice calculations} \rightarrow \frac{\delta u}{u} = \frac{\delta d}{d} = -0.02 \pm 0.04 \quad \frac{\delta s}{s} = 0.68 \pm 0.04$$



Inclusive scattering:

detected scattered lepton

Virtual-photon kinematics:

$$Q^2 = -q^2 = 4EE' \sin^2\left(\frac{\theta}{2}\right) \quad v = E - E'$$

Fraction of nucleon momentum carried by struck quark:

$$x = \frac{Q^2}{2Mv}$$

Semi-inclusive scattering:

detected scattered lepton and produced hadrons

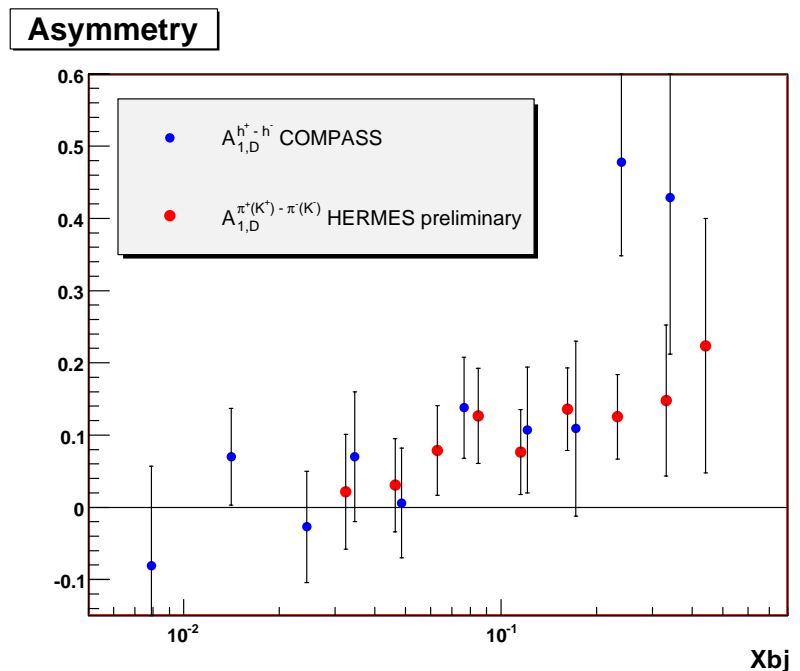
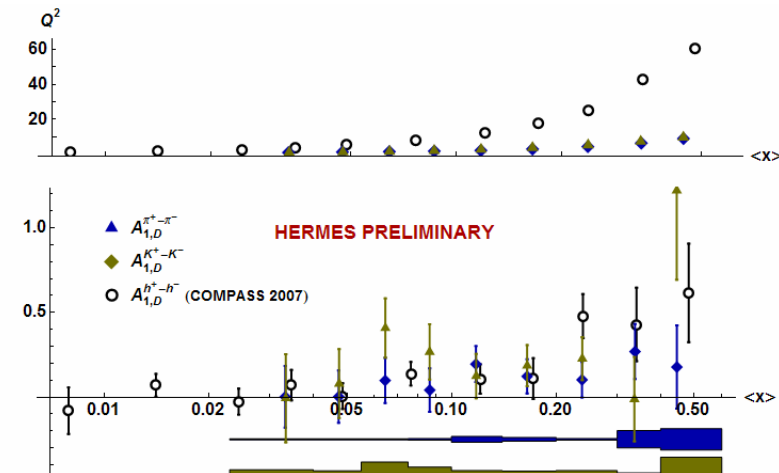
Fraction of virtual-photon energy carried by produced hadron h :

$$z = \frac{E_h}{v}$$

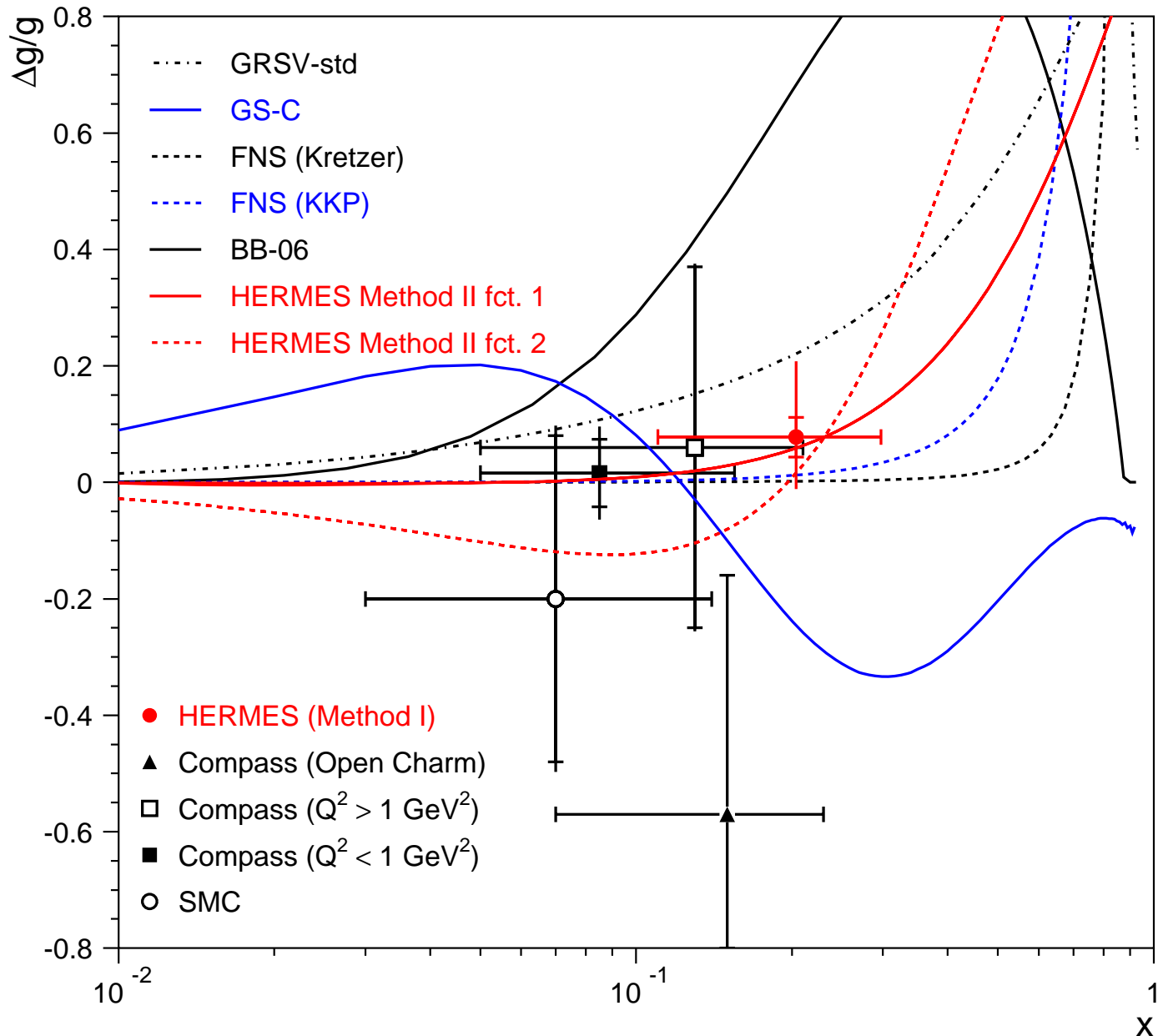
Hadron Charge Difference Asymmetries

Polina K

$$A_d^{h^+ - h^-} \simeq A_d^{\pi^+ - \pi^-} = A_d^{K^+ - K^-} = \frac{\Delta u_v + \Delta d_v}{u_v + d_v}$$

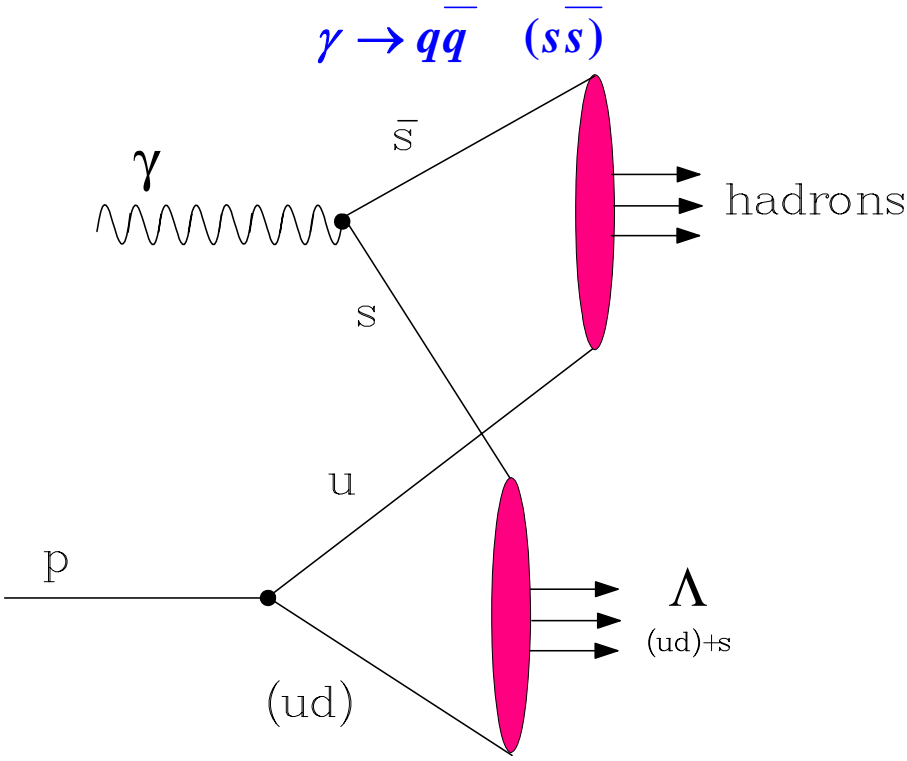


ΔG final result compilation



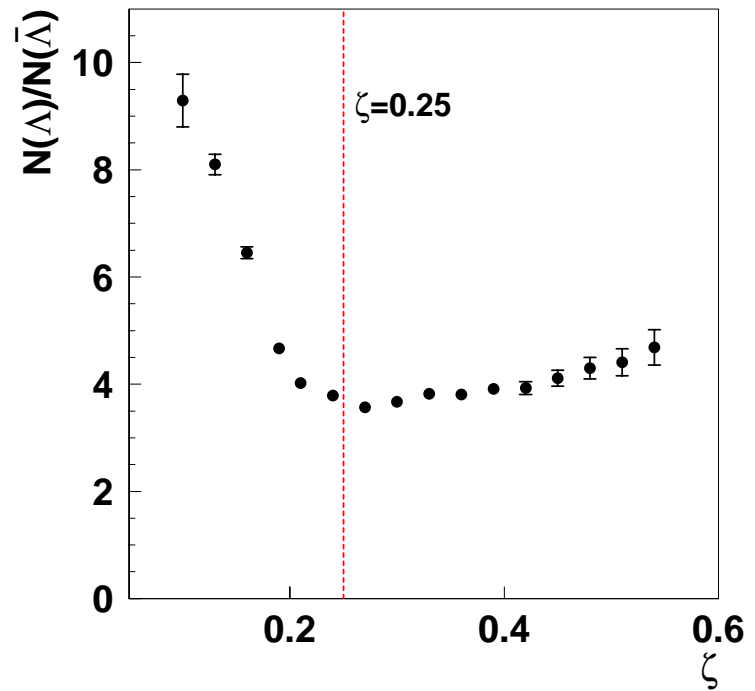
Λ photoproduction mechanism by PYTHIA

$$\langle E_\gamma \rangle = \langle E_e - E_{e'} \rangle \simeq 15.6 \text{ GeV}$$



$$\zeta^\Lambda \simeq \frac{E^\Lambda}{E_e} < 0.25 \quad \sqrt{t} = 3.31 \text{ GeV}$$

Λ to $\bar{\Lambda}$ yield ratio



*target (ud)
mechanism*

